

## Homework 2

Giulio Nenna (s245717@studenti.polito.it)

December 22, 2020

Realizzato in collaborazione con Alfredo Baione (s279328)

### Esercizio 1.

---

1. Il numero di 1 in  $X(t)$  è:

$$\eta(x) = \sum_{i=0}^n x_i.$$

Sia

$$N(t) = \eta(X(t)) = \sum_{i=1}^n X_i(t)$$

il numero dei nodi foglia infetti al tempo  $t$ .

La matrice del kernel di mutazione riferita a tale processo è:

$$\psi = \begin{bmatrix} 1 & 0 \\ 1 & 0 \end{bmatrix},$$

mentre quelle associate al kernel di interazione sono:

$$\varphi(0) = \begin{bmatrix} 1 & 0 \\ 0 & 1 \end{bmatrix}, \quad \varphi(1) = \begin{bmatrix} 0 & 1 \\ 0 & 1 \end{bmatrix}.$$

È possibile osservare, allora, che le *active boundaries* di  $X(t)$  coincidono e sono solo funzioni di  $\eta(x)$ :

$$\zeta_{01}(x) = \sum_{i,j} W_{ij} (1 - x_i) x_j = \zeta_{10}(x) = \sum_{i,j} W_{ij} (1 - x_j) x_i = n+1-\eta(x).$$

Ne risulta che  $N(t)$  è una “birth-and-death” chain.

Ponendo  $N(t) = k$ , risulta:

$$\begin{aligned} \lambda_{N(t)}(x) &= (n-k) \psi_{01} + \zeta_{01}(x) \beta \varphi_{01}(1) = (n-k) \cdot 0 + (n+1-\eta(x)) \cdot \beta = (n-k) \cdot \beta, \\ \mu_{N(t)}(x) &= k \psi_{10} + \zeta_{10}(x) \beta \varphi_{10}(0) = k + (n+1-\eta(x)) \cdot \beta \cdot 0 = k. \end{aligned}$$

2. Sia  $N(t) = k$ . Nella costruzione dei rate di transizione della catena di Markov di nascita e morte  $N(t)$ , si ottiene:

$$\begin{aligned} \bullet \quad \forall k < n, \quad \lambda_{N(t)}(x) &= (n - k) \cdot \beta > 0 \quad (k = 1, \dots, n - 1); \\ \bullet \quad \forall k > 0, \quad \mu_{N(t)}(x) &= k > 0 \quad (k = n, \dots, 1). \end{aligned}$$

Pertanto, la catena è irriducibile.

L'unica distribuzione di probabilità invariante  $\bar{\pi}$  di  $N(t)$  avrà come componenti:

$$\begin{aligned} \bar{\pi}_i &= \frac{1}{\sum_{k=0}^n \prod_{j=0}^{k-1} \frac{\lambda_j}{\mu_{j+1}}} \cdot \prod_{j=0}^{i-1} \frac{\lambda_j}{\mu_{j+1}} = \\ &= \frac{1}{\sum_{k=0}^n \prod_{j=0}^{k-1} \frac{(n-j) \cdot \beta}{j+1}} \cdot \prod_{j=0}^{i-1} \frac{(n-j) \cdot \beta}{j+1}, \quad i = 0, \dots, n. \end{aligned}$$

3. Sia  $n = 3$ . Applicando la formula precedente, risulta che

$$\bar{\pi}_i = \frac{1}{\sum_{k=0}^3 \prod_{j=0}^{k-1} \frac{(3-j) \cdot \beta}{j+1}} \cdot \prod_{j=0}^{i-1} \frac{(3-j) \cdot \beta}{j+1}, \quad i = 0, \dots, 3,$$

da cui si ottiene:

$$\begin{aligned} \bar{\pi}_0 &= \frac{1}{1 + 3\beta + 3\beta^2 + \beta^3}, \\ \bar{\pi}_1 &= \frac{3\beta}{1 + 3\beta + 3\beta^2 + \beta^3}, \\ \bar{\pi}_2 &= \frac{3\beta^2}{1 + 3\beta + 3\beta^2 + \beta^3}, \\ \bar{\pi}_3 &= \frac{\beta^3}{1 + 3\beta + 3\beta^2 + \beta^3}. \end{aligned}$$

Per capire quando  $\bar{\pi}_k$ ,  $k = 0, \dots, 3$ , è massima, è possibile studiare il comportamento di  $\bar{\pi}_0$ ,  $\bar{\pi}_1$ ,  $\bar{\pi}_2$  e  $\bar{\pi}_3$ , rispetto alla variabile  $\beta$ , nell'intervallo  $[0, +\infty)$ .

Come si evince dal grafico, allora:

- se  $0 \leq \beta \leq \frac{1}{3}$ ,  $k = 0$  è lo stato per cui  $\bar{\pi}_k$  è massima;
- se  $\frac{1}{3} \leq \beta \leq 1$ ,  $k = 1$  è lo stato per cui  $\bar{\pi}_k$  è massima;
- se  $1 \leq \beta \leq 3$ ,  $k = 2$  è lo stato per cui  $\bar{\pi}_k$  è massima;
- se  $3 \leq \beta < +\infty$ ,  $k = 3$  è lo stato per cui  $\bar{\pi}_k$  è massima.

4. Sia

$$k_n = \arg \max_{k=0,\dots,n} (\bar{\pi}_k).$$

La catena di disuguaglianze

$$\frac{\bar{\pi}_{i+1}}{\bar{\pi}_i} \geq 1 \Leftrightarrow \frac{\lambda_j}{\mu_{j+1}} \geq 1 \Leftrightarrow (n-j) \cdot \beta \geq j \Leftrightarrow n\beta - j\beta \geq j \Leftrightarrow j + j\beta \leq n\beta \Leftrightarrow j \leq \frac{n\beta}{1+\beta}$$

prova che:

$$k_n = \arg \max_{k=0,\dots,n} (\bar{\pi}_k) = \left\lfloor \frac{n\beta}{1+\beta} \right\rfloor = \frac{n\beta}{1+\beta} - \epsilon, \quad 0 \leq \epsilon < 1.$$

Pertanto, si avrà:

$$\lim_{n \rightarrow +\infty} \frac{k_n}{n} = \lim_{n \rightarrow \infty} \left( \frac{n\beta}{n(1+\beta)} - \frac{\epsilon}{n} \right) = \frac{\beta}{1+\beta}.$$

**Esercizio 2.**

- (a) Agli archi
- $e_1$
- ed
- $e_2$
- corrispondono le funzioni di costo

$$\Delta_1 = \omega_1 \quad e \quad \Delta_2 = \omega_2 + \frac{3}{2}f_2,$$

dove  $\omega_1$  e  $\omega_2$  rappresentano i pedaggi applicati al passaggio dei corrispondenti flussi  $f_1$  e  $f_2$ , tali che  $f_1 + f_2 = 1$ .

Risulta che  $f^{(\omega)} = (f_1^{(\omega)}, f_2^{(\omega)})$  è “equilibrio di Wardrop” se e solo se:

$$\begin{cases} f_1^{(\omega)} > 0 \Rightarrow \Delta_1 \leq \Delta_2 \Leftrightarrow \omega_1 \leq \omega_2 + \frac{3}{2}f_2^{(\omega)} \\ f_2^{(\omega)} > 0 \Rightarrow \Delta_2 \leq \Delta_1 \Leftrightarrow \omega_1 \geq \omega_2 + \frac{3}{2}f_2^{(\omega)} \end{cases} \Leftrightarrow \begin{cases} f_2^{(\omega)} = \frac{2}{3}(\omega_1 - \omega_2) \\ f_1^{(\omega)} = 1 - \frac{2}{3}(\omega_1 - \omega_2) \end{cases}.$$

- (b) Si consideri il gioco

$$(\mathcal{V} = \{1, 2\}, A = \{0, 1\}, U = \{u_i(\omega_1, \omega_2) = \omega_i f_i^{(\omega)}, i = 1, 2\}),$$

dove 1 e 2 rappresentano, rispettivamente, i gestori dei nodi  $o$  e  $d$  del suddetto grafo.

La funzione di *best response* del primo giocatore risulta essere

$$\begin{aligned} BR_1(\omega_2) &= \arg \max_{\omega_1 \in A} u_1(\omega_1, \omega_2) = \arg \max_{\omega_1 \in A} \omega_1 f_1^{(\omega)} = \arg \max_{\omega_1 \in A} \omega_1 \left(1 - \frac{2}{3}(\omega_1 - \omega_2)\right) = \\ &= \arg \max_{\omega_1 \in A} \omega_1 \left(1 - \frac{2}{3}\omega_1 + \frac{2}{3}\omega_2\right) = \arg \max_{\omega_1 \in A} \left(\omega_1 - \frac{2}{3}\omega_1^2 + \frac{2}{3}\omega_1\omega_2\right) = \frac{3}{4} + \frac{1}{2}\omega_2, \end{aligned}$$

mentre quella relativa al secondo è

$$\begin{aligned} BR_2(\omega_1) &= \arg \max_{\omega_2 \in A} u_2(\omega_2, \omega_1) = \arg \max_{\omega_2 \in A} \omega_2 f_2^{(\omega)} = \arg \max_{\omega_2 \in A} \omega_2 \left(\frac{2}{3}(\omega_1 - \omega_2)\right) = \\ &= \arg \max_{\omega_2 \in A} \omega_2 \left(\frac{2}{3}\omega_1 - \frac{2}{3}\omega_2\right) = \arg \max_{\omega_2 \in A} \left(\frac{2}{3}\omega_2\omega_1 - \frac{2}{3}\omega_2^2\right) = \frac{1}{2}\omega_1. \end{aligned}$$

- (c) Per trovare l'equilibrio di Nash del gioco in questione, si deve imporre che ogni giocatore giochi la sua
- best response*
- , in risposta all'azione dell'altro giocatore. In tal caso, questo si traduce nella risoluzione del seguente sistema:

$$\begin{cases} \omega_1^* = \frac{3}{4} + \frac{1}{2}\omega_2^* \\ \omega_2^* = \frac{1}{2}\omega_1^* \end{cases} \Leftrightarrow \begin{cases} \omega_1^* = \frac{3}{4} + \frac{1}{2}\left(\frac{1}{2}\omega_1^*\right) \\ \omega_2^* = \frac{1}{2}\omega_1^* \end{cases} \Leftrightarrow \begin{cases} \omega_1^* = 1 \\ \omega_2^* = \frac{1}{2} \end{cases},$$

e tali sono i valori degli equilibri di Nash cercati.

**Esercizio 3.**

Si consideri il gioco  $(\mathcal{V}, A, \{u_i\})$ , caratterizzato da

$$\mathcal{V} = \{1, 2, \dots, n\}, \quad A = \{-1, +1\}, \quad u_i(x_i, x_{-i}) = \begin{cases} \frac{1}{2} \sum_{j \neq i} |x_i + x_j| & \text{se } i \in \mathcal{V}_1 \\ \frac{1}{2} \sum_{j \neq i} |x_i - x_j| & \text{se } i \in \mathcal{V}_2 \end{cases},$$

dove

$$\mathcal{V}_1 = \{1, 2, \dots, n_1\} \text{ e } \mathcal{V}_2 = \{n_1 + 1, n_1 + 2, \dots, n\}.$$

(a) Sia  $n = 3$ .

(a1)  $n_1 = 3$ .

Ciascun giocatore sta giocando un coordination game quindi valgono le seguenti:

$$\mathcal{V}_1 = \{1, 2, 3\}, \quad \mathcal{V}_2 = \emptyset,$$

$$u_i = \frac{1}{2} \sum_{j \neq i} |x_i + x_j|, \quad \forall i.$$

Se definiamo le quantità

$$n^+ = |\{x_i = +1, i \in \mathcal{V}\}|$$

$$n^- = |\{x_i = -1, i \in \mathcal{V}\}|$$

che rappresentano rispettivamente il numero di giocatori che stanno giocando +1 e -1 allora per ciascun giocatore vale la seguente:

$$\{x_i = +1\} \in BR_i(x_{-i}) \iff n^+ \geq n^-$$

$$\{x_i = -1\} \in BR_i(x_{-i}) \iff n^- \geq n^+$$

Gli equilibri di Nash, pertanto, saranno dati dalle terne  $(-1, -1, -1)$  e  $(+1, +1, +1)$ , perché entrambe le configurazioni, in tal caso, massimizzano le “utilities” di 1, 2 e 3 e sono compatibili con i best response di ciascun giocatore.

(a2)  $n_1 = 2$ .

In questo caso il giocatore  $i = 3$  sta giocando un anti-coordination

game. Quindi:

$$\begin{aligned}\mathcal{V}_1 &= \{1, 2\}, \mathcal{V}_2 = \{3\}, \\ u_1 &= \frac{1}{2} \cdot (|x_1 + x_2| + |x_1 + x_3|), \\ u_2 &= \frac{1}{2} \cdot (|x_2 + x_1| + |x_2 + x_3|), \\ u_3 &= \frac{1}{2} \cdot (|x_3 - x_1| + |x_3 - x_2|).\end{aligned}$$

Per cui vale:

$$\begin{aligned}\{x_3 = +1\} \in BR_3(x_{-3}) &\iff n^- \geq n^+ \\ \{x_3 = -1\} \in BR_3(x_{-3}) &\iff n^+ \geq n^-\end{aligned}$$

Quindi, gli equilibri di Nash risultano essere individuati dalle configurazioni  $(-1, -1, +1)$  e  $(+1, +1, -1)$  in cui si può notare come ai primi due giocatori convenga essere "accordati" mentre al terzo convenga giocare il contrario di quello che giocano i primi due.

**(a3)**  $n_1 = 1$ .

In questo caso due dei tre giocatori sta giocando un anti-coordination game e solo il terzo sta giocando un coordination game. In particolare:

$$\begin{aligned}\mathcal{V}_1 &= \{1\}, \mathcal{V}_2 = \{2, 3\}, \\ u_1 &= \frac{1}{2} \cdot (|x_1 + x_2| + |x_1 + x_3|), \\ u_2 &= \frac{1}{2} \cdot (|x_2 - x_1| + |x_2 - x_3|), \\ u_3 &= \frac{1}{2} \cdot (|x_3 - x_1| + |x_3 - x_2|).\end{aligned}$$

Gli equilibri di Nash sono individuati da  $(+1, +1, -1)$ ,  $(-1, +1, -1)$ ,  $(+1, -1, +1)$  e  $(-1, -1, +1)$ , ossia configurazioni in cui fintanto che  $x_1 \neq x_2$  allora  $i = 1$  può giocare qualsiasi valore dal momento che la sua utilità non cambia. In queste configurazioni nessun giocatore guadagna utilità cambiando mossa.

**(a4)**  $n_1 = 0$ .

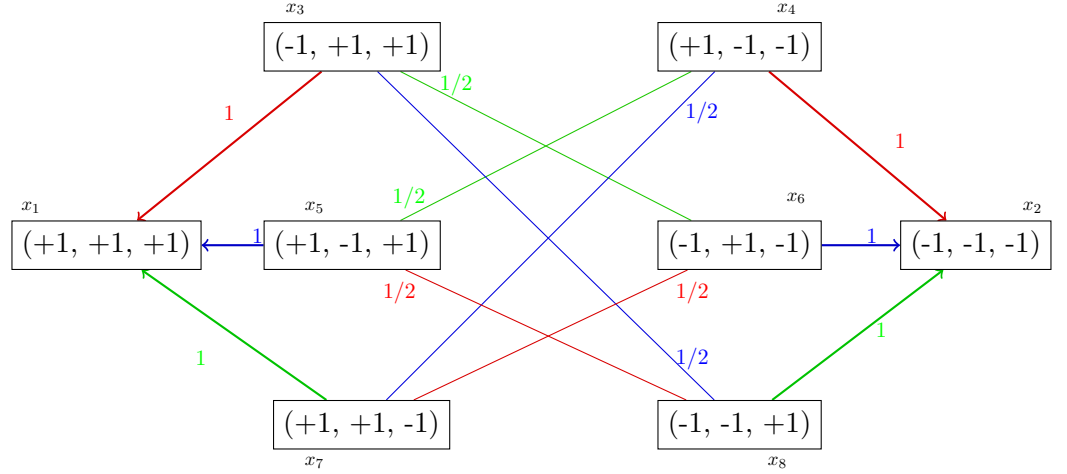
Tutti i giocatori stanno giocando un anti-coordination game:

$$\begin{aligned}\mathcal{V}_1 &= \emptyset, \mathcal{V}_2 = \{1, 2, 3\}, \\ u_i &= \frac{1}{2} \sum_{j \neq i} |x_i - x_j|, \forall i\end{aligned}$$

e gli stati  $(+1, -1, -1)$ ,  $(-1, +1, -1)$ ,  $(-1, -1, +1)$ ,  $(-1, +1, +1)$ ,  $(+1, -1, +1)$  e  $(+1, +1, -1)$  saranno equilibri di Nash, per le ragioni già esposte. Queste configurazioni rappresentano tutte le possibili combinazioni di mosse dei giocatori tranne quelle in cui sono tutti accordati, incompatibili con i best response di qualsiasi giocatore nel caso di un anti-coordination game.

- (b) Sia  $n = 3$  e  $X(0) = (+1, -1, +1)$  la configurazione iniziale della catena di Markov  $X(t)$ , a tempo continuo, corrispondente alla dinamica di *best response* asincrona per il gioco di sopra.

(b1)  $n_1 = 3$ .



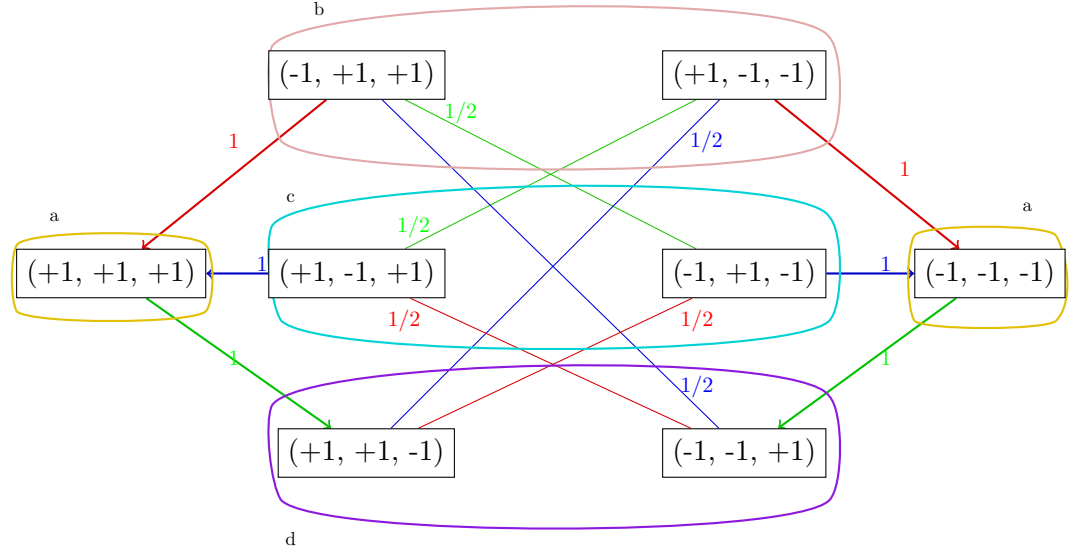
Per questo punto e per quelli successivi verrà utilizzata la nomenclatura mostrata in figura. In particolare  $x_i$  rappresenta la  $i$ -esima configurazione nel grafo delle transizioni e gli archi sono colorati in rosso, blu o verde se a cambiare mossa in un salto di configurazione sono rispettivamente il primo, il secondo o il terzo giocatore.

Come si può osservare dal grafo delle transizioni di configurazione con i relativi *rate* di transizione, risulta che

$$\lim_{t \rightarrow +\infty} \mathbb{P}(X(t) = x \mid X(0) = (+1, -1, +1)) = \left( \frac{1}{2}, \frac{1}{2}, 0, 0, 0, 0, 0, 0 \right)',$$

in quanto  $X(t)$ , per  $t \mapsto +\infty$ , finirà necessariamente in uno dei due stati assorbenti,  $(-1, -1, -1)$  oppure  $(+1, +1, +1)$ , con probabilità pari a  $\frac{1}{2}$  per entrambi.



(b2)  $n_1 = 2$ .

Il grafo di transizione, in tal caso, è fortemente connesso. Questo significa che esiste una sola misura invariante,  $\pi_x$ , a cui tenderà

$$\lim_{t \rightarrow +\infty} \mathbb{P}(X(t) = x \mid X(0) = (+1, -1, +1)).$$

Sfruttando allora l'esistenza di 4 simmetrie, identificabili con  $\pi_a$ ,  $\pi_b$ ,  $\pi_c$  e  $\pi_d$  (ognuna associata ad un raggruppamento di colore diverso in figura) è possibile determinare la misura invariante  $\pi_x$  traducendo la condizione

$$L'\pi = 0 \iff \text{diag}(\omega)\pi = \Lambda'\pi$$

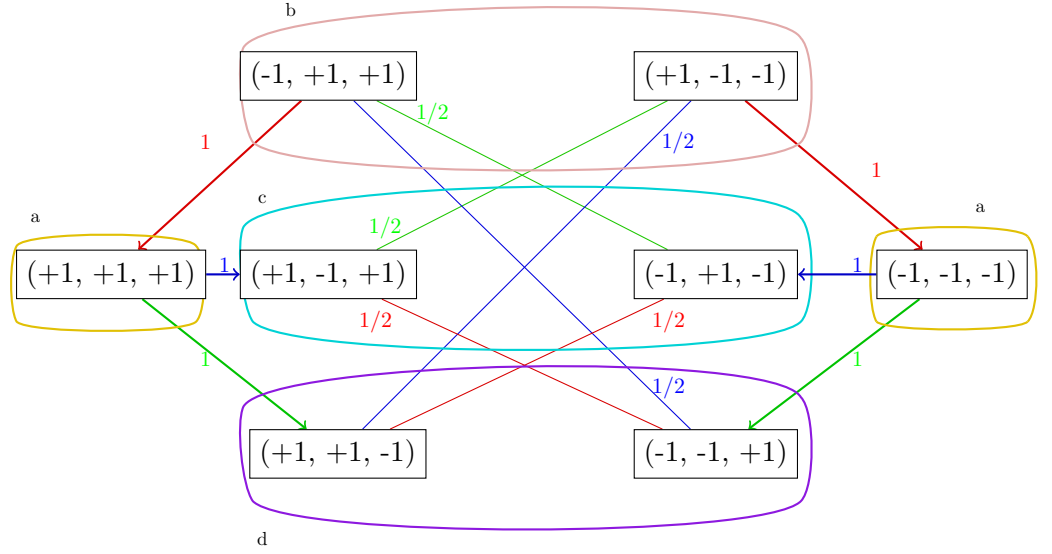
in

$$\begin{cases} \pi_a = \pi_c + \pi_b \\ 2\pi_b = \frac{1}{2}\pi_c + \frac{1}{2}\pi_d \\ 2\pi_c = \frac{1}{2}\pi_b + \frac{1}{2}\pi_d \\ \pi_a + \pi_b + \pi_c + \pi_d = \frac{1}{2} \end{cases} \iff \begin{cases} \pi_a = \frac{2}{14} \\ \pi_b = \frac{1}{14} \\ \pi_c = \frac{1}{14} \\ \pi_d = \frac{3}{14} \end{cases},$$

da cui si ricava che

$$\begin{aligned} \lim_{t \rightarrow +\infty} \mathbb{P}(X(t) = x \mid X(0) = (+1, -1, +1)) &= \\ &= \pi_x = \frac{1}{14} (2, 2, 1, 1, 1, 1, 3, 3)'. \end{aligned}$$

(b3)  $n_1 = 1$ .



Anche in tal caso il grafo di transizione risulta fortemente connesso e, quindi, esiste un'unica misura invariante,  $\pi_x$ , a cui tende

$$\lim_{t \rightarrow +\infty} \mathbb{P}(X(t) = x \mid X(0) = (+1, -1, +1)).$$

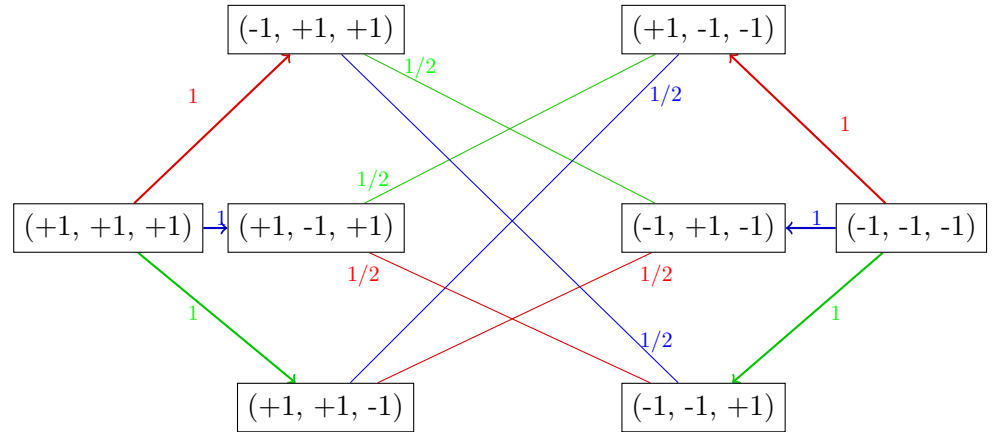
Come prima, grazie ai *rates* di transizione tra i diversi stati e alle quattro simmetrie presenti nel grafo ( $\pi_a$ ,  $\pi_b$ ,  $\pi_c$  e  $\pi_d$ ), ricaviamo il sistema

$$\begin{cases} 2\pi_a = \pi_b \\ \pi_c = \pi_a + \frac{1}{2}\pi_b + \frac{1}{2}\pi_d \\ 2\pi_b = \frac{1}{2}\pi_c + \frac{1}{2}\pi_d \\ \pi_a + \pi_b + \pi_c + \pi_d = \frac{1}{2} \end{cases} \Leftrightarrow \begin{cases} \pi_a = \frac{1}{22} \\ \pi_c = \pi_d = \frac{2}{11} \\ \pi_b = \frac{1}{11} \end{cases},$$

da cui

$$\begin{aligned} \lim_{t \rightarrow +\infty} \mathbb{P}(X(t) = x \mid X(0) = (+1, -1, +1)) &= \\ &= \pi_x = \left( \frac{1}{22}, \frac{1}{22}, \frac{1}{11}, \frac{1}{11}, \frac{2}{11}, \frac{2}{11}, \frac{2}{11}, \frac{2}{11} \right)'. \end{aligned}$$

(b4)  $n_1 = 0$ .



In quest'ultima configurazione del grafo di transizione esiste un solo stato assorbente del sistema, per  $t \mapsto +\infty$ , rappresentato dall'insieme  $\{x_3, x_4, x_5, x_6, x_7, x_8\}$ .

Pertanto, si avrà, analogamente al caso in cui  $n_1 = 3$ :

$$\lim_{t \rightarrow +\infty} \mathbb{P}(X(t) = x \mid X(0) = (+1, -1, +1)) = \left(0, 0, \frac{1}{6}, \frac{1}{6}, \frac{1}{6}, \frac{1}{6}, \frac{1}{6}, \frac{1}{6}\right)'.$$